

## 第十二讲

反铁磁自旋链的场描述:

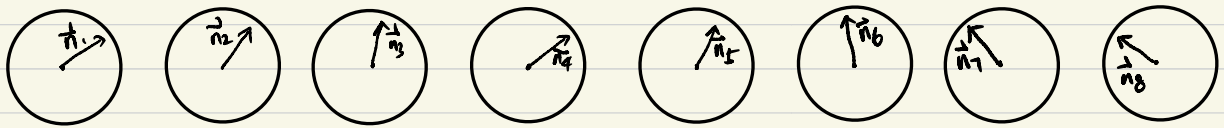
$$Z = \int \mathcal{D}\vec{n} \mathcal{D}\vec{\ell} \prod_{x,\tau} \delta(\vec{n} \cdot \vec{\ell}) e^{-S} \quad (1)$$

其中

$$S = i\theta Q - i \int d\tau dx \vec{\ell} \cdot (\vec{n} \times \partial_\tau \vec{n}) + \frac{1}{2} \int d\tau dx \left[ \rho_s (\partial_x \vec{n})^2 + \frac{\ell^2}{\chi_\perp} \right] \quad (2)$$

注意约束条件  $\prod_{x,\tau} \delta(\vec{n} \cdot \vec{\ell})$  保证  $\vec{n} \cdot \vec{\ell} = 0$  的要求

假设  $i\theta Q = n 2\pi i$ ,  $S$  是什么系统的作用量?



$\frac{1}{2} \int dx \rho_s (\partial_x \vec{n})^2$  可理解为  $\vec{n}(x)$  场 (自旋) 的梯度由于 stiffness  $\leftarrow$  经典铁磁 O(3) 模型

$\frac{\ell^2}{2\chi_\perp}$  可理解为球面上粒子的角动能,  $\frac{\chi_\perp}{2}$  是转动惯量 } QM!  
 $-i \int d\tau dx \vec{\ell} \cdot (\vec{n} \times \partial_\tau \vec{n})$  来自 Berry phase

我们来研究 (2) 式的实时形式 ( $S(t) = iS(\tau)$ ,  $d\tau = idt$ )

$$S(t) = iS(\tau) = \int d\tau dx \vec{\ell} \cdot (\vec{n} \times \partial_\tau \vec{n}) + \frac{i}{2} \int d\tau dx \left[ \rho_s (\partial_x \vec{n})^2 + \frac{\ell^2}{\chi_\perp} \right] \Rightarrow$$

$$S(t) = \int dt dx \vec{\ell} \cdot \left( \vec{n} \times \frac{\partial \vec{n}}{\partial t} \right) - \frac{1}{2} \int dt dx \left[ \rho_s (\partial_x \vec{n})^2 + \frac{\ell^2}{\chi_\perp} \right]$$

$$\frac{\delta S}{\delta \vec{\ell}} = 0 \Rightarrow \frac{\vec{\ell}}{\chi_\perp} = \vec{n} \times \frac{\partial \vec{n}}{\partial t} \quad \text{是角动量算子的定义式!}$$

• 很自然  $\vec{\ell} \cdot \vec{n} = 0$  的条件满足

(1)

②式子是类似于单粒子情形  $S' = \int_0^{\beta} dt [-i p(t) \frac{dx}{dt} + H(x(t), p(t))]$  的结果.

此系统  $\leftrightarrow$  Hamiltonian 为:

$$H = \int dx \left[ \frac{\rho_s}{2} (\nabla \vec{n})^2 + \frac{t^2}{2\kappa_1} \right]$$

对易关系:

$$[n_\alpha(x), L_\beta(x')] = i\delta(x-x') e^{\alpha\beta\gamma} n_\gamma(x)$$
$$[L_\alpha(x), L_\beta(x')] = i\delta(x-x') e^{\alpha\beta\gamma} L_\gamma(x)$$

• Quantum Rotor model

现在计算配分函数，积掉角动量  $P$  分

$$Z = \int \mathcal{D}\vec{n} \mathcal{D}\vec{l} \prod_{x\tau} \delta(\vec{n} \cdot \vec{l}) e^{-S}$$

注意约束条件  $\prod_{x\tau} \delta(\vec{n} \cdot \vec{l})$  保证  $\vec{n} \cdot \vec{l} = 0$  的要求，将其写进 (引入乘子  $\lambda(x\tau)$ )

$$\prod_{x\tau} \delta(\vec{l} \cdot \vec{n}) \propto \int \mathcal{D}\lambda(x\tau) e^{i \int dx d\tau \lambda \vec{l} \cdot \vec{n}}$$

$$\text{利用 } \frac{1}{2\pi} \int dk e^{ikx} = \delta(x)$$

(每个时空点都有一个  $\delta$  函数)

看积分:

$$I = \int \mathcal{D}\lambda \int \mathcal{D}\vec{l} e^{\int dx d\tau \left[ \frac{l^2}{2\kappa_1} + i\vec{l} \cdot (\vec{n} \times \frac{\partial \vec{n}}{\partial \tau} + \lambda \vec{n}) \right]}$$

$$\int_{-\infty}^{\infty} dx e^{-\frac{1}{2}ax^2 + iJx} = \left(\frac{2\pi}{a}\right)^{\frac{1}{2}} e^{-J^2/2a}$$

对  $\vec{l}$  的路径积分实际是在每个  $(x\tau)$  的高斯积分。

$$I = \text{const} \cdot \int \mathcal{D}\lambda e^{-\frac{\kappa_1}{2} \int dx d\tau (\vec{n} \times \frac{\partial \vec{n}}{\partial \tau} + \lambda \vec{n})^2} = \text{const} \cdot e^{-\frac{\kappa_1}{2} \int dx d\tau \left(\frac{\partial \vec{n}}{\partial \tau}\right)^2} \int \mathcal{D}\lambda e^{-\frac{\kappa_1}{2} \int dx d\tau \lambda^2}$$

$$= \text{const}' e^{-\frac{\kappa_1}{2} \int dx d\tau \left(\frac{\partial \vec{n}}{\partial \tau}\right)^2}$$

• 用到:  $\left(\vec{n} \times \frac{\partial \vec{n}}{\partial \tau}\right)^2 = \left(\frac{\partial \vec{n}}{\partial \tau}\right)^2$ ,  $\vec{n} \cdot \left(\vec{n} \times \frac{\partial \vec{n}}{\partial \tau}\right) = 0$ ,  $\vec{n}^2 = 1$

最后  $Z = \int \mathcal{D}\vec{n} e^{-S}$

其中:

$$S(\tau) = i\theta Q + \int dx d\tau \left[ \frac{\beta_5}{2} \left(\frac{\partial \vec{n}}{\partial x}\right)^2 + \frac{\kappa_1}{2} \left(\frac{\partial \vec{n}}{\partial \tau}\right)^2 \right]$$

在实时的情况, (不看  $\theta$ -term)

$$(iS(t) = -S(\tau))$$

$$S(t) = i \int dx d\tau \left[ \frac{\rho_s}{2} \left( \frac{\partial \vec{n}}{\partial x} \right)^2 + \frac{\kappa_L}{2} \left( \frac{\partial \vec{n}}{\partial \tau} \right)^2 \right] = \int dx d\tau \left[ \frac{\kappa_L}{2} \left( \frac{\partial \vec{n}}{\partial \tau} \right)^2 - \frac{\rho_s}{2} \left( \frac{\partial \vec{n}}{\partial x} \right)^2 \right]$$

经典运动方程:  $\kappa_L \frac{\partial^2 \vec{n}}{\partial \tau^2} - \rho_s \frac{\partial^2 \vec{n}}{\partial x^2} = 0$

这是一个波动方程, 声速  $c = \sqrt{\frac{\rho_s}{\kappa_L}} \Rightarrow \kappa_L = \frac{\rho_s}{c^2}$

$$\omega = ck$$

对比 FM:  $\omega = |v| s a^2 k^2$

于是

$$\int dx d\tau \left[ \frac{\rho_s}{2} \left( \frac{\partial \vec{n}}{\partial x} \right)^2 + \frac{\kappa_L}{2} \left( \frac{\partial \vec{n}}{\partial \tau} \right)^2 \right] = \int dx \int_0^{\beta} d\tau \left[ \frac{\rho_s}{2} \left( \frac{\partial \vec{n}}{\partial x} \right)^2 + \frac{\rho_s}{2} \left( \frac{\partial \vec{n}}{\partial c\tau} \right)^2 \right]$$

$\forall \tau' = c\tau, \beta \rightarrow c\beta, \frac{\rho_s}{c} = \sqrt{\kappa_L \rho_s} \equiv \frac{1}{g} \quad \bullet \tau' \text{ 量纲换成长度}$

$$S = -i\theta Q + \frac{1}{2g} \int dx \int_0^{c\beta} d\tau \left[ \left( \frac{\partial \vec{n}}{\partial x} \right)^2 + \left( \frac{\partial \vec{n}}{\partial \tau} \right)^2 \right]$$

$\theta$ -term 之外的作用量 记是 著名 *Nonlinear-sigma model (NLSQ)*

$g = \sqrt{\kappa_L \rho_s} \rightarrow \text{温度}, \because \kappa_L \rho_s = \frac{S^2}{4}, \text{调 } S = \text{调 } T \text{ 增大 } S = \text{降温} \rightarrow \text{Haldane phase 反预期}$

•  $S=2$ , 半整自旋.

• Ladder system: even / odd

参见 Sandvik, §2.3. §4.3.

④



- Boundary states for spin-1 chains with Haldane gap

$$S'_B(\tau) = i\theta Q$$

其中  $\theta = 2\pi S$ ,  $Q \in \mathbb{Z}$  for 周期边界, (或  $\vec{n}(x) \rightarrow \vec{n}_0$ ,  $x, \tau \rightarrow \infty$ )

- 当 chain 很长, 但有有限长  $L$ , 自由边界:  $\vec{n}(0)$  与  $\vec{n}(L)$  任意

$$S'_B(\tau) = \frac{i\theta}{4\pi} \int_0^L dx \int_0^\tau dt \vec{n} \cdot (\partial_x \vec{n} \times \partial_t \vec{n})$$

$$= i\theta \left[ \frac{J_L}{4\pi} + Q - \frac{J_0}{4\pi} \right]$$

设  $S=1$ ,  $\theta=2\pi$ ,

$$S'_B = i \left[ \frac{J_L}{2} - \frac{J_0}{2} \right]$$



这是两个  $S=\frac{1}{2}$  自旋的 Berry phase 之差, 没有 H P 分!

$\Rightarrow$  Haldane phase 有 gapless boundary  $S=\frac{1}{2}$  excitations (开边界时)

QM:  $\vec{S}_1 + \vec{S}_2 = \vec{S}$ ,  $S$  量子数  $= 0, 1, \dots, S_1 + S_2$ , 但是  $S=1$  反铁磁链有 2 个  $S=\frac{1}{2}$  自旋!

- 对 bulk gap 和 boundary  $\frac{1}{2}$  的模型: AKLT model

$$H = J \sum_j \left[ \vec{S}_j \cdot \vec{S}_{j+1} + \frac{1}{3} (\vec{S}_j \cdot \vec{S}_{j+1})^2 \right] = J \sum_j \hat{P}_2(j, j+1)$$

$\hat{P}_2(i, i+1)$  是投影算符:  $\vec{S} = \vec{S}_1 + \vec{S}_2$ ,  $\hat{P}_2(1, 2) = S^2(S^2 - 2)/2$ ,  $S = 0, 1, 2$ ,

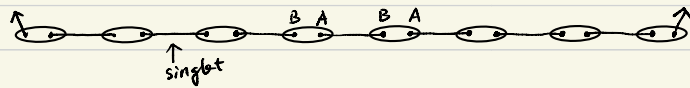
$\hat{P}_2$  将 9 维空间投影到 5 维  $S=2$  子空间。 ( $S_2 = \pm 2, \pm 1, 0$ )

$$12 \cdot \hat{P}_2 = (\vec{S}_1 + \vec{S}_2)^2 ((\vec{S}_1 + \vec{S}_2)^2 - 2) = (4 + 2\vec{S}_1 \cdot \vec{S}_2)(2 + 2\vec{S}_1 \cdot \vec{S}_2) = 4[2 + 3\vec{S}_1 \cdot \vec{S}_2 + (\vec{S}_1 \cdot \vec{S}_2)^2]$$

$$\hat{P}_2|\alpha\rangle = |S=2\rangle \langle S=2| \cdot |\alpha\rangle = C_3 |S=2\rangle$$

$$\text{设 } |\alpha\rangle = C_1 |S=0\rangle + C_2 |S=1\rangle + C_3 |S=2\rangle$$

(5)



GS: 把每  $S_j$  看成两个  $S=\frac{1}{2}$  自旋 A, B,

$$|\psi\rangle = \hat{P} \prod_j (|+\rangle_{jA} |+\rangle_{j+1B} - |-\rangle_{jA} |-\rangle_{j+1B})$$

投影  $\hat{P}$  保证  $\vec{S}_j = \vec{S}_{jA} + \vec{S}_{jB}$  总自旋  $S_j = 2$ .

$|\psi\rangle$  性质:  $(\vec{S}_j + \vec{S}_{j+1})$  量子永不为 2.  $\Rightarrow |\psi\rangle$  是 HAKLT 的 GS

破坏任一单态都将提升能量.

此外, 数值计算表明,  $|\psi\rangle$  是唯一一个 GS, 与激发态间有 Gap  $\Delta_{\text{AKLT}} = 0.350J$

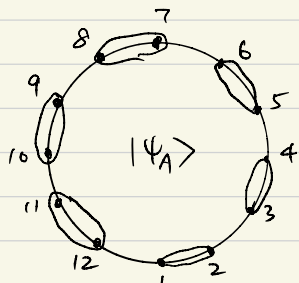
• 对于 open chain  $\langle s_0 \cdot s_n \rangle = (-1)^n \cdot (s+1)^2 e^{-kn}$  ( $n \neq 0$ ),  $k(s) = \ln(1 + \frac{2}{s})$

指数衰减

# 量子相变

• The Majumdar-Ghosh Hamiltonian ( $S = \frac{1}{2}$ )

引入竞争的阻性相互作用.

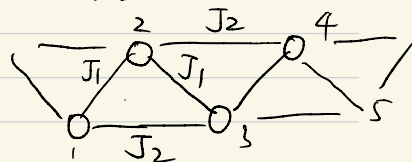


一般:

$$H^{MG} = J_1 \sum_{i=1}^L \vec{S}_i \cdot \vec{S}_{i+1} + J_2 \sum_{i=1}^L \vec{S}_i \cdot \vec{S}_{i+2}$$

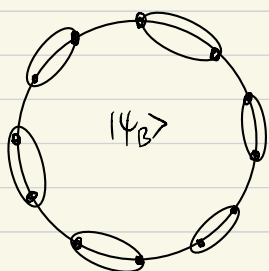
$$\vec{S}_{N+1} = \vec{S}_1$$

阻性



frustration-driven QPT:

$$g = J_2/J_1, \quad g_c = 0.2411$$



$g > g_c$ : VBS: 破坏平移对称性:  $\mathbb{Z}_2$ .

$g < g_c$ :  $c(r) \sim \frac{1}{r} + \log \dots$

$g = \frac{1}{2}$  时. M-G point:

$$H^{MG} = J \sum_i (S_i \cdot S_{i+1} + \frac{1}{2} S_i \cdot S_{i+2})$$

基态严格是两重简并单态直积, 如图.

• the parent Hamiltonian of the two dimer states exact GS

扰动下破坏为  $|\psi_A\rangle$  或  $|\psi_B\rangle$

$$\text{有PR下: } |\psi(0)\rangle = \frac{1}{\sqrt{2}} (|\psi_A\rangle + |\psi_B\rangle)$$

$$|\psi(\pi)\rangle = \frac{1}{\sqrt{2}} (|\psi_A\rangle - |\psi_B\rangle)$$

•  $d > 1$  的情况.  $S = \frac{1}{2}$  前面我们说明了:

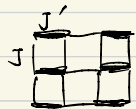
在AF态, 由于  $\vec{n}$  的变化缓慢, 如果一根链的  $\theta$  term =  $\frac{iS}{2} \nabla \cdot \mathbf{Q}$ , 相邻的一根必为  $-\frac{iS}{2} \nabla \cdot \mathbf{Q}$ , 即相互抵消.

如果引入竞争的相互作用, 导致相变情况就可能不同. 反铁磁相中

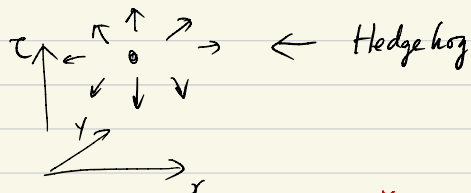
缺陷可以在晶格尺度上剧烈变化, 从而导致一些位型有反的相因子

$\theta$ -term 非常重要!

• 不是什么相变都有这个效应. 比如 dimerized Heisenberg.



$$H = J \sum_{\langle ij \rangle} \vec{S}_i \cdot \vec{S}_j + J' \sum_{\langle ij \rangle} \vec{S}_i \cdot \vec{S}_j$$



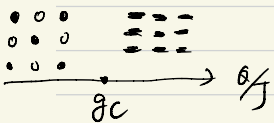
• 足够大的  $J'$  导致 Neel 到 顺磁相变. 3D O(3) 普适类.

但 Berry phase 无作用. 在  $g_c$ , 大量 Hedgehog 出现破坏长程序

• 另一种相变, 比如 JQ model  $H = J \sum \vec{S}_i \cdot \vec{S}_j + Q \sum_{ijkl} (\vec{S}_i \cdot \vec{S}_j)(\vec{S}_k \cdot \vec{S}_l)$

• 在  $Q$  足够大时系统进入 VBS 序: 平移对称性破缺.

• 相变时有特殊 Hedgehog 出现, 视其“粒”的位置不同, 一个 Hedgehog 引入  $1, i, -1, -i$  4种相因子, 称为 quadrupled hedgehogs, 这导致 VBS.



• 但是一般 Hedgehog 是被抑制的. 导致普适类变化:

参考文献:

1. A. Abanov. §4.5. §4.6.

2. A. Auerbach. Interacting Electrons and Quantum Magnetism  
chap 8. §9.3

3. A. Sandvik. Computational studies of Quantum spin systems. §2.3, §4.3

